



## تحقیقات تولیدات دامی

سال نهم/شماره دوم/تابستان ۱۳۹۹ (۴۵-۵۴)



### مقاله پژوهشی

## اثر نانو ذرات نقره بر عملکرد تولیدمثلى بلدرچین نر ژاپنی

مهدى رنجبرى<sup>۱</sup>، امجد فرزین پور<sup>۲\*</sup>، اسعد وزيري<sup>۳</sup>

۱- دانشآموخته گروه علوم دامی، دانشکده کشاورزی، دانشگاه کردستان

۲- دانشیار گروه علوم دامی، دانشکده کشاورزی، دانشگاه کردستان

۳- استادیار گروه علوم دامی، دانشکده کشاورزی، دانشگاه کردستان

(تاریخ دریافت: ۹۸/۰۶/۱۸ - تاریخ پذیرش: ۹۸/۰۹/۱۱)

### چکیده

نانو ذرات نقره به دلیل خصوصیات ضد باکتریایی جهت ضد عفونی محیط، تجهیزات و نیز گندزدائی آب در مزارع مختلف طیور مورد استفاده قرار می‌گیرد. یکی از مشکلات مزارع مرغ مادر، افت باروری خروس در اواسط دوره تولید است. لذا هدف این مطالعه بررسی آثار نانو ذرات نقره بر سیستم تولیدمثلى بلدرچین ژاپنی نر به عنوان یک مدل آزمایشگاهی بود. در این آزمایش، تعداد ۲۴ قطعه بلدرچین نر در قالب طرح کاملاً تصادفی با چهار تیمار و شش تکرار استفاده شد. تیمارهای آزمایشی شامل صفر، ۱۲، ۳۶ و ۱۰۸ ppm قسمت در میلیون (ppm) نانو ذرات نقره بود که در آب آشامیدنی مورد استفاده قرار گرفتند. در پایان دوره ۴۲ روزه آزمایش، وزن بدن تمامی پرنده‌ها، وزن بیضه‌ها، شاخص گنادی و تولید اسپرم روزانه مورد ارزیابی قرار گرفتند. جهت بررسی غلظت سرمی تستوسترون، قبل از کشتار از ورید زیر بال نمونه خون اخذ و سرم آن جداسازی شد. وزن بیضه‌ها در دو گروه ۳۶ و ۱۰۸ ppm نانو ذرات نقره (به ترتیب ۶/۳ و ۶/۵ گرم) نسبت به گروه شاهد ۸/۸ (P<0.05). کاهش یافتد. شاخص گنادی در گروه ۳۶ ppm نانو ذرات (۲/۹۲±۰/۴۶) کاهش معنی‌داری نسبت به گروه شاهد (۳/۷۴±۰/۴۷) نشان داد (P<0.05). نانو ذرات نقره در سطح ۱۰۸ ppm سبب افت تولید اسپرم روزانه (۱۱۰/۶±۲۸/۱ میلیون) در مقایسه با گروه شاهد (۳۲۷/۷±۹۴/۴ میلیون) شد (P<0.05). کاهش تراکم سلولی در لوله‌های منی‌ساز، مجاری آوران دور و آوران نزدیک اپیدیدیمی و مجاری اپیدیدیم در تیمار دریافت‌کننده ۱۰۸ ppm نانو ذرات نقره نسبت به گروه شاهد معنی‌دار بود (P<0.05). نتایج حاضر نشان داد که نانو ذرات نقره عملکرد تولیدمثلى بلدرچین نر را کاهش می‌دهد.

**واژه‌های کلیدی:** بلدرچین ژاپنی، تستوسترون، تولید اسپرم روزانه، نانو ذرات نقره، هیستوپاتولوژی

\* نویسنده مسئول: Amjadfarzinpour@uok.ac.ir

doi: 10.22124/ar.2020.14161.1438

## مقدمه

### مواد و روش‌ها

در این مطالعه، تعداد ۹۶ قطعه جوجه بلدرچین ژاپنی در قالب طرح کاملاً تصادفی با چهار تیمار و شش تکرار و هر تکرار شامل چهار قطعه پرنده (سه پرنده ماده و یک پرنده نر)، ابتدا در بستر و در سن دو هفتگی به قفس‌های اختصاصی منتقل شدند. دسترسی پرنده‌گان به آب و خوراک آزاد بوده و مراقبت‌های لازم تا حد امکان منطبق با روش‌های توصیه شده تجاری به عمل آمد. جیره غذایی بر پایه ذرت و سویا و مطابق احتیاجات مواد مغذی توصیه شده به وسیله NRC (1994) در سنین مختلف دوره پرورش تنظیم شد (جدول ۱). نانو ذرات نقره مورد استفاده در این تحقیق، مایع کلوئیدال نانو نقره (Nanocid L2000) ساخت شرکت نانو نصب پارس (تهران، ایران) بود. بیشترین اندازه ذرات نقره nm ۵۰ و با قطر  $\mu\text{m}$  ۰/۲ بود. جوجه‌ها از یک روزگی تا پایان ۴۲ روزگی مقادیر صفر، ۱۲، ۳۶ و ۱۰۸ قسمت در میلیون (ppm) نانو ذرات نقره را در آب آشامیدنی دریافت نمودند. سپس بعد از توزین و کشتار هر پرنده، نمونه‌های خون اخذ و بیضه بلدرچین‌های نر جمع‌آوری شدند و برای تعیین شاخص‌های باروری، وزن بدن و تولید اسپرم روزانه مورد ارزیابی قرار گرفتند. جهت تعیین میزان تولید اسپرم STM روزانه، یک گرم بافت بیضه را در ۱۰ میلی‌لیتر Saline-TritonX-100 - Merthiolate (Merthiolate) هموژن نموده، سپس دویست میکرولیتر از بافت هموژن با ۸۰۰ میکرولیتر محلول تریپان بلو مخلوط شد. با استفاده از لام هماسیوتومتر نوبار و بزرگنمائی ۱۰۰، تعداد اسپرم‌اتوزوئهای هسته کشیده موزی شکل شمارش شد. بعد از لحاظ نمودن ضریب رقت، تعداد اسپرم‌های شمارش شده در یک گرم بیضه در وزن هر دو بیضه ضرب و حاصل عددی بر عدد ۲/۶۹ که طول دوره اسپرم‌اتوزنر در بلدرچین است، تقسیم شد تا میزان اسپرم روزانه در هر دو بیضه بلدرچین حاصل شود (Zdenka et al., 2013).

جهت بررسی غلظت سرمی تستوسترون بعد از خونگیری سرم خون ۲۴ قطعه بلدرچین نر به وسیله دستگاه سانتریفیوژ با سرعت ۳۵۰۰ دور به مدت پانزده دقیقه جداسازی شد. نمونه‌های سرم اخذ شده بلافصله بعد از جداسازی به میکروتیوب منتقل شد و در فریزر در دمای ۲۰- درجه سلسیوس تا زمان اندازه‌گیری فرآسنجه مورد

نانوتکنولوژی با تولید نانو ذرات و استفاده از آنها در محدوده وسیعی از محصولات تجاری در سراسر دنیا سریعاً در حال رشد است (Rosas-Hernandez et al., 2009). نقره در مقیاس نانو، مانند سایر نانو مواد به واسطه اندازه بسیار کوچک، خصوصیات فیزیکی-شیمیایی و فعالیت‌های زیستی قابل ملاحظه و غیرمعمولی را نشان می‌دهد. نانو ذرات نقره نسبت به فلز نقره دارای اندازه بزرگ‌تر هستند و به دلیل افزایش سطح و کسر بالائی از اتم‌های سطحی، فعالیت ضد میکروبی بالاتری خواهند داشت (Mirshokraei et al., 2011). مهمترین خصوصیت نانو ذرات نقره، اثر ضد باکتریایی این ذرات است که از این ویژگی می‌توان برای ضدغوفونی محیط و نیز سالم- نوشادی آب شرب استفاده کرد (Ghanbarizadeh, 2016). خصوصیات فیزیکو-شیمیایی و آثار زیستی ویژه نانو ذرات نقره سبب شده است که امروزه به عنوان یکی از ترکیبات ضد باکتریایی مهم بر علیه طیف گسترده‌ای از باکتری‌های مقاوم به آنتی بیوتیک‌ها استفاده شوند (Humberto et al., 2011). برخی گزارشات، نانو ذرات نقره را در زمرة ترکیبات ضد باکتری با طیف عملکرد وسیع طبقه‌بندی نموده اند (Nanda and Saravanan, 2009). استفاده از نانو ذرات نقره می‌تواند از شکل‌گیری بیوفیلم در سیستم‌های آبرسانی نیز ممانعت نماید (Ghotaslou et al., 2017). از آنجا که نانو ذرات می‌توانند از سدهای خونی- بیضه‌ای و خونی- مغزی عبور کنند، لذا این خصوصیت سبب محدود شدن کاربرد این ترکیبات می‌شود (Braydich-Stolle et al., 2005).

امروزه استفاده از نانو ذرات نقره در مزارع مختلف مرغداری شامل مرغ گوشتی، مرغ تخم‌گذار و مرغ مادر رو به افزایش است. کاربرد این محصولات حتی برای آب شرب نیز سفارش می‌شود. مصرف بی‌رویه فرآورده‌های نانوتکنولوژی در شاخه‌های مختلف صنایع طیور یکی از نگرانی‌های زیست محیطی و امنیت غذایی است. یکی از مشکلات مهم در مزارع مرغ مادر، کاهش باروری زود هنگام خروس‌ها است (Farzinpour and Dadras, 2013).

بنابراین، هدف از تحقیق حاضر بررسی آثار نانو ذرات نقره روی سیستم تولیدمثیل بلدرچین نر ژاپنی بود.

دريافت‌کننده نانو ذرات نقره نسبت به گروه شاهد دارای اختلاف معنی‌داری بود ( $P < 0.05$ ). اين اختلاف به گونه‌اي است که کاهش غلظت سرمی تستوسترون در گروه دريافت‌کننده ppm ۱۰۸ نانو ذرات نقره محسوس‌تر است (شکل ۱). نتایج حاصل از آثار نانو ذرات نقره بر هيستوپاتولوژی بيضه و اپيدیديم نشان داد که مصرف ۱۰۸ ppm نانو ذرات نقره سبب اختلال در زنجирه اسپرمازوژن و کاهش تراکم سلول‌های جنسی در درون لوله‌های منی‌ساز شد (شکل‌های ۲ و ۳). مقطع یک لوله منی‌ساز نرمال در بلدرچین نر شامل مراحل مختلف اسپرمازوژن (به ترتیب سلول‌های اسپرمازوگئی، اسپرماتوسیت اولیه، اسپرماتید و اسپرمازوئید) در شکل ۴ نشان داده شده است. در بررسی مقاطع بافتی بيضه و ناحیه اپيدیديم، کاهش معنی‌داری ( $P < 0.05$ ) در جمعیت سلولی مرکز لومن لوله‌های منی‌ساز و مجاری خارج بيضه-ای شامل مجاری آوران نزدیک و مجاری آوران دور ناحیه اپيدیديم در گروه‌های مختلف دريافت‌کننده نانو ذرات نقره مشاهده شد (شکل‌های ۵ و ۶).

### بحث

در بررسی کلی، اگر چه مقایسه میانگین‌های وزن بدن اختلاف معنی‌داری را نشان نمی‌دهد، اما افزایش غلظت نانو ذرات نقره سبب کاهش عددی در وزن بدن شد، به گونه‌ای که میانگین وزن بدن در گروه شاهد حدود ۲۳۵ گرم است و در گروه دريافت‌کننده ppm ۱۰۸ نانو ذرات نقره برابر با ۲۰۱ گرم است که اين اختلاف قابل تأمل است. در صورت تقسيم کردن اختلاف حدود ۲۴ گرم اين دو گروه نسبت به میانگین وزن بدن در گروه‌های مختلف آزمایشي، عملاً مصرف ppm ۱۰۸ نانو ذرات نقره سبب کاهش ۱۰ درصدی تولید گوشت در گله شده است و اين کاهش وزن بدن می‌تواند تولید و سوددهی يك مزرعه مرغداری را به طور كامل تحت تاثير قرار دهد. مقایسه میانگین‌های وزن بيضه نشان داد که دريافت ppm ۳۶ و ppm ۱۰۸ نانو ذرات نقره سبب کاهش اين فراستجه تولیدمثلي می‌شود، اما در مطالعات تولیدمثلي، شاخص گنادي مهمترین شاخص تولیدمثلي محسوب می‌شود. اگر چه فقط گروه ppm ۳۶ نانو ذرات نقره نسبت به گروه شاهد افت معنی‌داری از اين نظر نشان داد، اما اختلاف ساير تيمارهای آزمایشي با گروه شاهد باید در نتيجه‌گيری

نظر نگهداري شدند. اندازه‌گيري تستوسترون سرم با استفاده از کيت الایزا انجام شد. به منظور بررسی اثر گروه‌های آزمایشي بر هيستوپاتولوژي سیستم تولیدمثلي، نمونه‌برداری از بافت بيضه در ۴۲ روزگار انجام گرفت. نمونه‌های بيضه راست جدا شده از بلدرچین‌های نر در داخل ظروف پلاستيكی مخصوص حاوي محلول بافر فرماليين خنثی ۱۰ درصد تا زمان تهيه مقاطع ميكروسكوبی نگهداري شدند. پس از آماده‌سازی و تثبيت نمونه‌ها، کلیه مراحل آبگيري و شفاف‌سازی با استفاده از دستگاه پروسسينگ بافت مدل شاندون انجام گرفت. پس از مراحل آماده‌سازی بافت‌ها، برش‌ها با ضخامت چهار تا شش ميكرومتر با استفاده از دستگاه ميكروتوم مدل لايتر ۱۵۱۲ تهيه شد. برش‌ها بعد از تهيه شدن، درون دستگاه Tissue float bath با دماي ۴۰ تا ۳۰ درجه سلسيوس، قرار داده شد تا برش باز شده و سپس روی لام انتقال داده شد. رنگ‌آميزی مقاطع بافتی تهيه شده با استفاده از روش رنگ‌آميزی هماتوكسيلين-أئوزين انجام شد. داده‌های جمع‌آوري شده با استفاده از نرمافزار آماري (SAS 2004) تجزيه شدند. مقاييسه ميانگين‌ها با روش آزمون چند دامنه‌اي دان肯 در سطح معنی‌داری پنج درصد انجام شد.

### نتایج

نتایج آثار گروه‌های مختلف آزمایشي نانو ذرات نقره بر برخی شاخص‌های تولیدمثلي بلدرچین نر در جدول ۲ نشان داده شده است. على رغم عدم وجود اختلاف معنی‌دار در وزن بدن گروه‌های مختلف، نانو ذرات نقره سبب کاهش معنی‌دار در فراستجه‌های تولیدمثلي ارزيباي شده در اين مطالعه شدند. وزن بيضه‌ها در گروه دريافت‌کننده ppm ۱۰۸ نانو ذرات نسبت به گروه شاهد به طور معنی‌داری کاهش داشت. شاخص گنادي در گروه دريافت‌کننده ppm ۳۶ نانو ذرات نقره کاهش مشخصی را نسبت به گروه شاهد نشان داد. کاهش معنی‌دار (P < 0.05) ميزان تولید اسپرم روزانه بيضه در گروه دريافت‌کننده ppm ۱۰۸ نسبت به ساير گروه‌ها از مشخص‌ترین يافته‌های اين مطالعه بود. در بررسی کلی، اگر چه اختلاف معنی‌داری در وزن بدن در بين گروه‌های مختلف وجود نداشت، اما با افزایش غلظت نانو ذرات نقره کاهش عددی در وزن بدن نسبت به گروه شاهد قابل تأمل است. غلظت‌های تستوسترون در گروه‌های مختلف

می‌تواند عملکرد دستگاه تولیدمثلي را به شدت تحت تاثير قرار دهد.

در مطالعات سمشناسی برای بررسی اثر نانو ذرات بر سیستم تولیدمثلي نر، برآورده تولید روزانه اسپرم یکی از شاخص‌های ضروری است. این ارزیابی عمومی را می‌توان در شمارش اسپرم، زنده‌مانی و شکل‌شناسی طبقه‌بندی کرد. اخیراً گزارش شده است که شمارش اسپرم: شامل تولید روزانه اسپرم، ذخیره اسپرمی اپیدیدیم یا مقدار اسپرم انزالی معیار مناسبی برای تجزیه اختلالات اندوکرینی و سیستم تولیدمثلي است (Ehn *et al.*, 2008).

نهایی مصرف این محصول نانوفناوری در آب آشامیدن پرنده‌گان صنعتی لحاظ شود. در مطالعه حاضر، شاخص باروری دیگر یعنی تولید اسپرم روزانه در بیضه تحت تاثير مصرف ۱۰۸ ppm نانو ذرات نقره قرار گرفته و کاهش شدیدی را نشان داد، به گونه‌ای که نانو ذرات نقره سبب افت حدود ۶۶ درصدی تولید اسپرم روزانه شد. اگر چه مقایسه میانگین تولید اسپرم روزانه در دو تیمار دیگر آزمایشی به لحاظ آماری با گروه شاهد اختلافی را نشان نمی‌دهد، اما افت این شاخص در گروه‌های ۳۶ ppm و ۱۲ نانو ذرات نقره به ترتیب ۱۳ و ۲۶ درصد نسب به گروه شاهد نیز قابل اعتماد نیست و این اختلافات در بلندمدت

جدول ۱- ترکیب اقلام خوراکی (درصد) و مواد مغذی جیردهای آزمایشی

Table 1. Ingredient composition (%) and nutrients of the experimental diets

Ingredients (%)	Diets	
	0- 42 day	
Corn	50.51	
Soybean meal	42.04	
Limestone	1.16	
Fish meal	3	
Soybean oil	2.07	
Dicalcium phosphate	0.32	
Vit premix <sup>1</sup>	0.25	
Min premix <sup>2</sup>	0.25	
Salt	0.30	
DL-methionine	0.10	
Total	100	
Calculated composition <sup>3</sup>		
Crude Protein	24	
ME, kcal/kg	2900	
Methionine	0.50	
Met and Cys	0.75	

<sup>1</sup> Provided per kilogram of premix: 3600 KUI vitamin A, 800 KUI vitamin D3, 7200 UI vitamin E, 720 mg vitamin B<sub>1</sub>, 2640 mg vitamin B<sub>2</sub>, 4000 mg pantothenic acid, 12000 mg nicotinic acid, 1200 mg vitamin B<sub>6</sub>, 400 mg folic acid, 6 mg vitamin B<sub>12</sub>, 800 mg vitamin K<sub>3</sub>, 40 mg biotin, 100 g Choline chloride and 40 g antioxidant.

<sup>2</sup> Provided per kilogram of premix: 40 g manganese sulfate, 4 g copper sulfate, 33880 mg zinc, 400 mg iodine, 80 mg selenium.

<sup>3</sup> Crude protein is based on analytical values. Amino acids, ME, values based on table values from the National Research Council (1994).

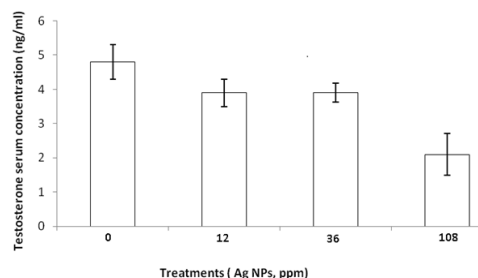


Fig. 1. Effect of experimental treatments of Ag nanoparticles (AgNPs) on serum concentration of testosterone in quail

شكل ۱- اثر تیمارهای آزمایشی نانو ذرات نقره بر غلظت سرمی تستوسترون در بلدرچین

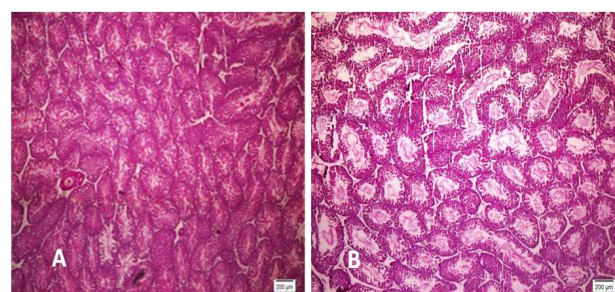


Fig. 2. Effects of Ag nanoparticles (AgNPs) on seminiferous tubules in Japanese quail testis, (A): control, (B): Ag NPs 108 ppm (H & E, 400X)

شکل ۲- آثار نانو ذرات نقره بر لوله‌های منی‌ساز در بیضه بلدرچین‌های ژاپنی: (A): گروه شاهد، (B): گروه مصرف کننده ۱۰۸ نانو ذرات نقره (هماتوکسیلین - ائوزین، بزرگنمایی ۴۰۰ برابر)

جدول ۲- اثر افزودن نانو ذرات نقره در آب آشامیدنی بر برخی شاخص‌های تولیدمی‌لی بلدرچین نر (n=6)

Table 2: Effect of adding Ag nanoparticles (AgNPs) in drinking water on some reproductive indices in male quails (n=6, Mean  $\pm$  SEM)

Parameter	Treatments ( Ag NPs, ppm)			
	0	12	36	108
Body weight (g)	235.4 $\pm$ 31	230.8 $\pm$ 41	217.4 $\pm$ 35	201 $\pm$ 25
Paired testes weight (g)	8.8 $\pm$ 0.15 <sup>a</sup>	7.3 $\pm$ 0.21 <sup>ab</sup>	6.3 $\pm$ 0.16 <sup>b</sup>	6.5 $\pm$ 0.14 <sup>b</sup>
Gonado-Somatic Index (GSI)	3.74 $\pm$ 0.47 <sup>a</sup>	3.19 $\pm$ 0.51 <sup>ab</sup>	2.92 $\pm$ 0.46 <sup>b</sup>	3.24 $\pm$ 0.54 <sup>ab</sup>
Daily sperm production per testis ( $\times 10^6$ )	327.7 $\pm$ 94.4 <sup>a</sup>	286.9 $\pm$ 67.5 <sup>a</sup>	241.1 $\pm$ 31.2 <sup>a</sup>	110.6 $\pm$ 28.1 <sup>b</sup>

<sup>a,b</sup> Within each row, means with different superscripts are significantly different (P < 0.05).

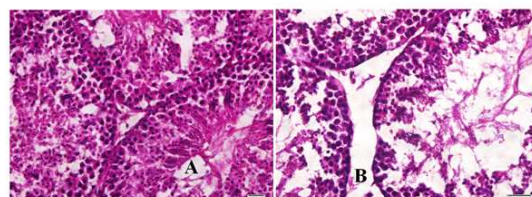


Fig. 3. Effect of Ag nanoparticles (AgNPs) on seminiferous tubules in quail testis, (A): control, (B): Ag NPs 108 ppm (H & E, 1000X)

شکل ۳- آثار نانو ذرات نقره بر لوله‌های منی‌ساز در بیضه بلدرچین، (A): شاهد، (B): ۱۰۸ ppm نانو ذرات نقره (هماتوکسیلین - ائوزین، بزرگنمایی ۱۰۰۰ برابر)

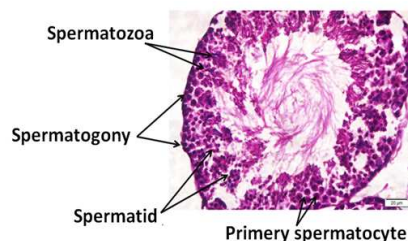


Fig. 4. The developmental stages of spermatogenesis were identified in a seminiferous tubule in a quail: spermatogony, primary spermatocyte, spermatid and spermatozoa (H & E, 1000 X)

شکل ۴- مراحل توسعه اسپرماتوژنر که در یک لوله منی‌ساز بلدرچین شناسائی شد: اسپرماتوگونی، اسپرماتوسیت اولیه، اسپرماتید و اسپرماتوزوا (هماتوکسیلین - ائوزین، بزرگنمایی ۱۰۰۰ برابر)

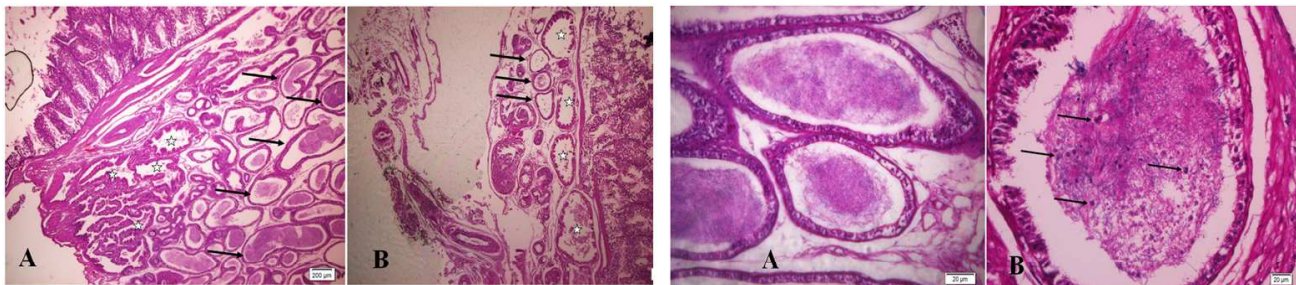


Fig. 5. Effect of Ag nanoparticles (AgNPs) on proximal efferent ductules (star) and distal efferent ductules (arrow) of epididymis region in quail, (A): control, (B): Ag NPs 108 ppm (H& E, 400X)  
شکل ۵- اثر نانو ذرات نقره بر مجرای آوران نزدیک (ستاره) و مجرای آوران دور ( فلاش) ناحیه اپیدیدیم در بلدرچین، (A): شاهد، (B): ۱۰۸ ppm نانو ذرات نقره، افزایش سلولهای تک هسته‌ای در محتويات سلولی مجرای اپیدیدیم (هماتوكسیلین - انوزین، بزرگنمایی  $\times 400$ )

Fig. 6. Effect of Ag nanoparticles (AgNPs) on epididymis duct in quail, (A): control, (B): Ag NPs 108 ppm. Increased mononuclear cells in content cells of epididymis duct (H& E, 1000 X)  
شکل ۶- اثر نانو ذرات نقره بر مجرای اپیدیدیم در بلدرچین، (A): شاهد، (B): ۱۰۸ ppm نانو ذرات نقره، افزایش سلولهای تک هسته‌ای در محتويات سلولی مجرای اپیدیدیم (هماتوكسیلین - انوزین، بزرگنمایی  $\times 1000$ )

سلولهای لیدیگ و در نتیجه کاهش تولید هورمون تستوسترون باشد. نتایج هیستوپاتولوژیکی در این تحقیق نیز نشان از ظهور ضایعات بافت بیضه دارد. انسجام و عدم گسترشی در زنجیره‌های اسپرماتوژن داخل لوله‌های منی-ساز از شاخصه‌های مهم بافت‌شناسی بیضه است که سبب افزایش تراکم سلولی در درون این لوله‌ها می‌شود. مصرف نانو ذرات نقره در تیمارهای آزمایشی سبب گسترشی و فاصله افتادن در بین زنجیره‌های اسپرماتوژن داخل لوله منی‌ساز شد. این گسترشی زنجیره‌ها در واقع سبب تضعیف سد خونی بیضه‌ای و نهایتاً کاهش عملکرد سلولهای سرتولی در پرستاری و حمایت از سلولهای جنسی در حال تکامل شده و ضمناً اتصال سلولهای جنسی به سلولهای سرتولی تضعیف یافته و این نقیصه سبب می‌شود که سلولهای نابالغ از جمله اسپرماتیدهای گرد نیز به همراه اسپرماتوزوآها به داخل لومن لوله‌های منی‌ساز آزاد شوند. همین پدیده سبب شد تا سلولهای هسته‌ای در داخل مجرای خارج بیضه‌ای ناحیه اپیدیدیمیس یعنی مجرای نزدیک و دور آوران مشاهده شود. همچنین این احتمال وجود دارد که به دلیل تضعیف سد خونی بیضه‌ای، سلولهای تک هسته ای خونی نیز به داخل لومن وارد شده باشند. نانو ذرات توانایی عبور از سدهای خونی-بیضه‌ای و خونی-مغزی را دارند (Braydich-Stolle *et al.*, 2005) است که در موش‌های صحرایی که نیترات نقره نشان دار شده را به صورت تزریق داخل وریدی دریافت نمودند،

به نظر می‌رسد میتوکندری هدف سیتوکسیسیتی نانو ذرات نقره باشد. تحقیقات نشان داده است که نانو ذرات نقره سبب کاهش معنی‌دار پتانسیل غشای میتوکندری می‌شود (Teodoro *et al.*, 2011). نتایج حاصل از بررسی آثار نانو ذرات موجود در اگزوز موتورهای دیزلی با غلظت‌های مختلف روی عملکرد تولید روزانه اسپرم در همه تیمارها نسبت به تیمار شاهد بوده است که با نتایج تحقیق حاضر مطابقت دارد (Yoshida *et al.*, 1999). هورمون تستوسترون را می‌توان به عنوان تنها نماد سرمی فعالیت تولیدمثلي حیوان نر در نظر گرفت. تمامی فعالیت‌های تولیدمثلي حیوان تحت کنترل و تاثیر مستقیم این هورمون است و عملأً آینه تمام نمای عملکرد تولیدمثلي در حیوان نر محسوب می‌شود. مقایسه میانگین این فراسنجه در تیمارهای آزمایشی نشان داد که نانو ذرات نقره سبب کاهش غلظت سرمی این هورمون نسبت به گروه شاهد شده است. این یافته به تنها یک می‌تواند دلیل قاطعی بر سمیت تولیدمثلي نانو ذرات نقره در تمامی مقدار آزمایش شده در تحقیق حاضر باشد. کاهش غلظت سرمی تستوسترون دلیل توجیه‌کننده افت فراسنجه‌های میانگین وزن بدن، وزن بیضه، تولید اسپرم روزانه و شاخص گنادی است. کاهش غلظت سرمی تستوسترون در گروه‌های مختلف در این مطالعه با یافته‌های رضایی زارچی و فومنی (۱۳۹۱) مطابقت دارد. این کاهش می‌تواند ناشی از اثر نانو ذرات نقره روی

میتوکندری سلول‌های لیدیگ تاثیر گذاشته و سبب کاهش فعالیت ترشحی این سلول‌ها شوند (Carlson *et al.*, 2008). نانو ذرات نقره باعث افزایش اکسیژن آزاد نظیر سوپر اکسیداز شده و بدین صورت سبب افزایش اکسیداسیون مولکول‌هایی نظیر پروتئین‌ها می‌شود (Carlson *et al.*, 2008). فرضیه دیگر این است که نانو ذرات نقره می‌توانند در بیان ژن برخی پروتئین‌های مسئول انتقال کلسترول به غشاء داخل میتوکندری و افزایش استروئیدسازی نقش داشته باشند. این امکان وجود دارد که نانو ذرات نقره با کاهش بیان ژن این پروتئین‌ها مانع انتقال کلسترول به غشاء داخلی میتوکندری شده و در نهایت از تبدیل کلسترول به پرگنولون جلوگیری کند و باعث کاهش تولید تستوسترون Colvin, 2003; Lansdown, 2007). همچنین گزارش شده است که نانو ذرات موجود در سوخت‌های دیزلی مانند دی بنزو دی اگزان و دی بنزو فوران سبب دژنره شدن سلول‌های لیدیگ و افزایش تعداد مجاری اسپرم‌ساز آسیب دیده، کاهش تولید روزانه اسپرم، پیدایش الیاف میلین در سلول‌های لیدیگ و تغییر در ساختار سلول‌های سرتولی و تحلیل لیزوژوم سلول‌های لیدیگ می‌شود (Yoshida *et al.*, 1999). نکته مهم اینجا است که با توجه به سفارش شرکت سازنده این محصول مبنی بر موثر بودن آن بر آلودگی‌های مختلف میکروبی آب، مصرف نانو ذرات نقره جهت گندздائی آب شرب و باز کردن سیستم‌های آبرسانی در مزارع مختلف پرورش طیور در حال افزایش است و مصرف طولانی‌مدت آن در مزارع مولد که عموماً دارای سن بالا هستند، خطر افزایش تجمع این ذرات در بافت‌های مختلف از جمله بیضه پرنده نر را امکان‌پذیر می‌سازد. گزارش‌ها نشان داده است که افزایش سمیت سلولی نانو ذرات نقره به غلظت و مدت زمان تماس با آن ارتباط داده شده است (Hsin *et al.*, 2008). لذا مصرف طولانی‌مدت نانو ذرات نقره حتی در مقدادر پایین حدود ppm ۱۲ به عنوان ضدعفونی کننده آب آشامیدنی می‌تواند سبب کاهش غلظت هورمون تستوسترون و افت فعالیت تولیدمثلى در پرنده نر شود.

### نتیجه‌گیری کلی

با توجه به مجموعه یافته‌های گزارش شده در این مطالعه، مصرف مقدادر زیاد و طولانی‌مدت نانو ذرات نقره به طور

بقایای نقره در بیضه‌ها تایید شد، به طوری که در تمام انواع سلول‌ها و مراحل اسپرماتوزن و در لیزوژوم سلول‌های سرتولی ردیابی شده بود (Faust, 1992). نقره جذب شده در بدن قادر به اتصال به گروه بزرگی از پروتئین‌های غنی از سیستئین موسوم به متالوتیوین‌ها است. این گروه پروتئینی نقش تنظیمی و حفاظتی در سلول از جمله آزادسازی واسطه‌هایی نظیر رادیکال‌های هیدروکسیل نیتریک اکسید، آپوپتوزیس، اتصال و تبادل فلزات سنگین مانند روی، کادمیوم، مس و نقره به عهده دارند (Faust, 1992). متالوتیوین‌ها در انواع مختلف سلول‌های زنده وجود داشته و ساختار منحصر به فردی دارند که سبب جدا شدن، اتصال و جایگزینی فلزاتی نظیر روی و نقره می‌شوند. احتمالاً متالوتیوین‌های سلول‌های پوستی در ترمیم زخم و کاهش التهاب و آپوپتوز سلولی به وسیله نقره نقش دارند (Lansdown, 2007). آثار هیستوپاتولوژی نانو ذرات نقره بر کبد جوجه‌های گوشته‌ای شامل دژنراسیون چربی، انسداد سینوسی، اتساع ورید مرکزی، نکروز سلول‌های کبدی و فیبروز سلول‌های کبدی است (Arora *et al.*, 2008). مطالعات انجام شده روی سلول‌های بنیادی اسپرماتوگونی جهت بررسی سمیت چندین نوع نانو ذرات در شرایط برون تنی نشان داده است که نانو ذرات نقره سبب کاهش مؤثر عملکرد میتوکندری، افزایش نشت سلولی، نکروزیس و القای آپوپتوز به سایر نانو ذرات شدند (Braydich-Stolle *et al.*, 2005). ترریق نانو ذرات نقره به موش‌های آبسن و مطالعه هیستولوژیکی بیضه نوزادان این موش‌ها، نشان داده که مصرف نانو ذرات نقره باعث کاهش معنی‌دار سلول‌های اسپرماتوگونی، اسپرماتوسیت، اسپرماتیدها و اسپرم بالغ شده است (Noori *et al.*, 2011). در بررسی‌های دیگری نشان داده که نانو ذرات طلا با نفوذ به سر و دم اسپرم سبب قطعه قطعه شدن سلول اسپرم شده و سبب کاهش تحرك اسپرم شد (Yang *et al.*, 2009). رسوب نانو ذرات نقره با تخریب زنجیره انتقال الکترون در میتوکندری سبب کاهش عملکرد میتوکندری شده و در نهایت منجر به افزایش تولید ROS و کاهش تولید ATP و آسیب به DNA می‌شود (AshaRani *et al.*, 2009).

گزارش شده است که میتوکندری جایگاه اصلی برای تولید ROS القا شده به وسیله نانو ذرات نقره است (Hsin *et al.*, 2008). نانو ذرات نقره می‌توانند بر فعالیت

زود هنگام کاهش باروری نیز تاثیرگذار بوده و عملکرد تولیدمثلى پرنده‌گان را کاهش دهد.

### تشکر و قدردانی

بدین وسیله از معاونت پژوهشی دانشگاه کردستان به جهت تأمین مالی این پروژه تقدیر و تشکر می‌شود.

مستقیم فعالیت تولیدمثلى بلدرچین ژاپنی را کاهش داد. مصرف نانو ذرات در دوره طولانی در مزارع مختلف طیور (تخم‌گذار، مولد و اجداد) و با توجه به نتایج این تحقیق و سایر گزارش‌ها مبنی بر آثار منفی نانو ذرات نقره بر سیستم تولیدمثلى، احتمال دارد که این ذرات در سندروم

### فهرست منابع

- Arora S., Jain J. M. and Paknikar K. M. 2008. Cellular responses induced by silver nanoparticles: In vitro studies. *Toxicology Letters*, 179: 93-100.
- AshaRani P. V., Mun G. L. K., Hande M. P. and Valiyaveettil S. 2009. Cytotoxicity and genotoxicity of silver nanoparticles in human cells. *ACS Nano*, 3: 279-290.
- Braydich-Stolle L., Hussain S. M., Schlager J. J. and Hofmann M. C. 2005. *In Vitro* cytotoxicity of nanoparticles in mammalian germline stem cells. *Journal of Toxicology Science*, 88: 412-419.
- Carlson C., Hussain S. M., Schrand A. M., Braydich-Stolle L. K., Hess K. L., Jones R. L. and Schlager J. J. 2008. Unique cellular interaction of silver nanoparticles: size-dependent generation of reactive oxygen species. *The Journal of Physical Chemistry B*, 112: 13608-13619.
- Colvin V. 2003. The potential environmental impact of engineered nanomaterials. *Nature Nanotechnology*, 21: 1166-1170.
- Ehn K. C., Tsunekawa N., Kanai Y. and Kurohmaru M. 2008. A new preparation protocol for measurement of testicular sperm production. *Journal of Reproduction and Development*, 54: 90-93.
- Farzinpour A. and Dadras H. 2013. Incidence and effects of epididymal stones on gonad indices in roosters. *Online Journal of Veterinary Research*, 17: 540-554.
- Faust R. A. 1992. Toxicity summary for silver. Chemical Hazard Evaluation and Communication Group, Biomedical and Environmental Information Analysis Section, Health and Safety Research Division, Oak Ridge National Laboratory, 62: 47-51.
- Ghotaslou R., Bahari Z., Aliloo A., Gholizadeh P. and Salahi Eshlaghi B. 2017. The *in vitro* effects of silver nanoparticles on bacterial biofilms. *Journal of Microbiology, Biotechnology and Food Sciences*, 6: 1077-1080.
- Hsin Y. H., Chen C. F., Huang S., Shih T. S., Lai P. S. and Chueh P. J. 2008. The apoptotic effect of nanosilver is mediated by a ROS- and JNK-dependent mechanism involving the mitochondrial pathway in NIH3T3 cells. *Toxicology Letters*, 179: 130-139.
- Humberto H., Lara V., Ayala-Nunez N. V., Carmen L. D., Ixtapan T. and Cristina R. P. 2010. Bactericidal effect of silver nanoparticles against multidrug-resistant bacteria. *World Journal of Microbiology and Biotechnology*, 26: 615-621.
- Lansdown A. B. G. 2007. Critical observations on neurotoxicity of silver. *Critical Reviews in Toxicology*, 37: 237-250.
- Lansdown A. B. 2010. A pharmacological and toxicological profile of silver as an antimicrobial agent in medical devices. *Advances in Pharmacological Sciences*, 10: 1155-1171.
- Mirshokraei P., Hassanpour H., AkhavanTaheri M., Riyahi M. and Shams-Esfandabadi N. 2011. The *in vitro* effects of nanosilver colloid on kinematic parameters of ram spermatozoa. *Iranian Journal of Veterinary Research*, 12: 317-323.
- Nanda A. and Saravanan M. 2009. Biosynthesis of silver nanoparticles from *Staphylococcus aureus* and its antimicrobial activity against MRSA and MRSE. *Nanomedicine*, 5: 452-456.
- Noori A., Parivar K., Modaresi M., Messripour M., Yousefi M. H. and Amiri G. R. 2011. Effect of magnetic iron oxide nanoparticle on pregnancy and testicular development of mice. *African Journal of Biotechnology*, 10: 1221-1227.
- Noshadi M. and Ghanbarizadeh P. 2016. Investigation of drinking water disinfection performance using silver nanoparticles. *Journal of Civil and Environmental Engineering*, 46: 93-107.
- Rezaei Zarchi S., Taghavi Foumani M. H. and Negahdary M. 2012. Effect of silver nanoparticles on the LH, FSH and testosterone hormones in male rat. *Journal of Babol University of Medical Sciences*, 15: 25-29.

- Rosas-Hernández H., Jiménez-Badillo S., Martínez-Cuevas P. P., Gracia-Espino E., Terrones H., Terrones M., Hussain S. M., Ali S. F. and González C. 2009. Effects of 45-nm silver nanoparticles on coronary endothelial cells and isolated rat aortic rings. *Toxicology Letters*, 191: 305-313.
- Teodoro J. S., Simões A. M., Duarte F. V., Rolo A. P., Murdoch R. C., Hussain S. M. and Palmeir C. M. 2011. Assessment of the toxicity of silver nanoparticles *in vitro*: A mitochondrial perspective. *Toxicology in Vitro*, 25: 664-670.
- Yang H., Liu C., Yang D., Zhang H. and Xia Z. 2009. Comparative study of cytotoxicity, oxidative stress and genotoxicity induced by four typical nanomaterials: the role of particle size, shape and composition. *Journal of Applied Toxicology*, 29: 69-78.
- Yoshida S., Sagai M., Oshio S., Umeda T., Ihara T., Sugamata M., Sugawara I. and Takeda K. 1999. Exposure to diesel exhaust affects the male reproductive system of mice. *International Journal of Andrology*, 23: 307-315.
- Zdenka O. K., Boisen A. M. Z., Jackson P., Wallin H., Vogel U. and Hougaard K. S. 2013. Daily sperm production: Application in studies of prenatal exposure to nanoparticles in mice. *Reproductive Toxicology*, 36: 88-97.



## Research paper

# Effect of silver nanoparticles on the reproductive performance of male Japanese quail

**M. Ranjbari<sup>1</sup>, A. Farzinpour<sup>2\*</sup>, A. Vaziry<sup>3</sup>**

1. Former MSc. Student, Department of Animal Science, Faculty of Agriculture, University of Kurdistan, Sanandaj, Iran

2. Associate Professor, Department of Animal Science, Faculty of Agriculture, University of Kurdistan, Sanandaj, Iran

3. Assistant Professor, Department of Animal Science, Faculty of Agriculture, University of Kurdistan, Sanandaj, Iran

(Received: 09-09-2019 – Accepted: 02-12-2019)

## Abstract

One of the new methods for drinking water disinfection in poultry farms is the use of silver nanoparticles (AgNPs). Anti-bacterial effect of silver had been known for disinfectant activity of AgNPs. An early low fertility syndrome has been reported in broiler breeding farms. The aim of this study was to evaluate the effects of AgNPs on reproductive performance of male quails as a laboratory model. Twenty-four male quails were used in four treatments with six replications. The treatments consisted of 0, 12, 36 and 108 ppm of silver nanoparticles, which were consumed in drinking water. Then blood samples and testes were collected after 42 days and body weight, daily sperm production, paired testes weight (g), gonado-somatic index (GSI), testosterone serum concentration and testicular histopathology indices were evaluated. There was significant decrease in the testes absolute weight in two groups of 36 and 108 ppm AgNPs (6.3-6.5 g) compared with control group (8.8 g,  $P<0.05$ ). The GSI was also significantly ( $P<0.05$ ) declined in 36 ppm AgNPs group ( $2.92\pm0.46\%$ ) as compared with control group ( $3.74\pm0.47\%$ ). The 108 ppm AgNPs group caused a dramatically reduction of daily sperm production ( $110.6\pm28.1\times10^6$ ) as compared to control ( $327.7\pm94.4\times10^6$ ,  $P<0.05$ ). One of the most important histopathological findings was a depletion of cells in the seminiferous tubules of testis and spermatogenesis chain and a low density of spermatozoa in the proximal and distal efferent ductules in the 108 ppm AgNPs concentration. The results indicated that silver nanoparticles reduced the male reproductive performance in male quail.

**Keywords:** Japanese quail, Testosterone, Daily sperm production, Silver nanoparticles, Histopathology

\*Corresponding author: Amjadfarzinpour@uok.ac.ir

doi: 10.22124/ar.2020.14161.1438